

九州大学 正員 井島武士
同 学生員 周宗仁

九州大学 学生員○川原田秋彦
同 同 仁禮吉昭

1. まえがき

離岸堤などに用いられている潜堤について、グリーン公式を用いて、理論解析し、実験を行はったので、ここに報告する。

2. 理論

閉曲線Dにより囲まれる閉鎖域内で、ラプラスの方程式を満足し、連続な2次の導関数を持つ、関数 $\phi(x, z)$ は、境界線D上の関数値 $\phi(\xi, \eta)$ と、外向き法線Nに関する導関数 $\partial\phi/\partial N$ により、

$$\phi(x, z) = \frac{1}{2\pi} \int_D \left[\phi(\xi, \eta) \cdot \frac{\partial}{\partial (\eta/x)} \log(\eta/x) \right] dS_{\eta/x} \quad (1)$$

ここで $r = \sqrt{(x-\xi)^2 + (z-\eta)^2}$, η_0 (一定)は閉鎖域の代表的な長さで、積分は反時計回りの線積分である。点 (x, z) が境界線D上の点 (ξ, η) と一致するときは、(1)式より、

$$\phi(\xi, \eta) = \frac{1}{\pi} \int_D \left[\phi(\xi, \eta) \cdot \frac{\partial}{\partial (\eta/x)} \log(\eta/x) \right] dS_{\eta/x} \quad (2)$$

ここで、 $R = \sqrt{(\xi-x)^2 + (\eta-z)^2}$ である。

境界線Dを、N個の微小要素に分割し、各要素の中点 (ξ_j, η_j) , ($j=1 \sim N$)、長さ $dS_{\eta/x}$ とすると、(2)式は次の差分方程式になる。

$$\phi(x) = \sum_{j=1}^N (E_{ij}\phi(j) - E_{ij}\bar{\phi}(j)) \quad (3)$$

上式で $\bar{\phi}(j) = \partial\phi(j)/\partial(\eta/x)$

$$\left. \begin{aligned} E_{ij} &= \int_{\Delta S_j} \frac{1}{\pi} \log(R_{ij}/\eta_0) dS_{\eta/x} \\ E_{ij} &= \int_{\Delta S_j} \frac{1}{\pi} \frac{\partial}{\partial (\eta/x)} \log(R_{ij}/\eta_0) dS_{\eta/x} \end{aligned} \right\} \quad (4)$$

$$R_{ij} = \sqrt{(\xi_j - \xi_i)^2 + (\eta_j - \eta_i)^2}$$

式(3)は、D上のN個の点の各々において成立する。 $\phi(j)$ と $\bar{\phi}(j)$ に関するN個の一次方程式を表している。式(3)とは独立に各々の点において、 $\phi(j)$, $\bar{\phi}(j)$ の間に別の一次の関係式が与えられるなら、式(3)と共に連立方程式として解くことができる。

閉鎖域内の任意点 (x, z) におけるポテンシャル関数は式(4)により、

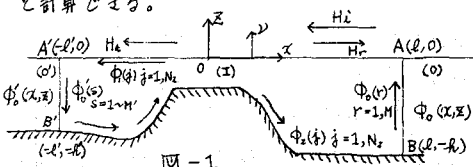
$$\phi(x, z) = \frac{1}{2} \sum_{j=1}^N (E_{ij}\phi(j) - E_{ij}\bar{\phi}(j)) \quad (5)$$

ここで

$$\left. \begin{aligned} E_{ij} &= \int_{\Delta S_j} \frac{1}{\pi} \log((\xi_j/\eta_0) \cdot dS_{\eta/x}) \\ E_{ij} &= \int_{\Delta S_j} \frac{1}{\pi} \frac{\partial}{\partial (\eta/x)} \log((\xi_j/\eta_0) \cdot dS_{\eta/x}) \end{aligned} \right\} \quad (6)$$

$$r_{ij} = \sqrt{(\xi_j - x)^2 + (\eta_j - z)^2}$$

と計算できる。



図のように各点を定めると、速度ポテンシャルは $\Psi = g\eta_0/\phi(x, z)e^{ikt}$ とすれば、

$$(0)領域では \quad \Phi_0(x, z) = [e^{ik(x-l)} + \psi e^{-ik(z-e)}] A(kz)$$

$$(0')領域では \quad \Phi_0'(x, z) = \psi' e^{ik(x+l)} A(kz)$$

$$\text{ここで } A(kz) = \cosh k(z+R)/\cosh kR, A(kz') = \cosh k(z'+R)/\cosh kR$$

$$K_r = |k|, K_z = |k'| \quad (7)$$

$$\text{自由表面条件は } \bar{\phi} = P\phi \quad (P = \Delta^2 \eta_0/g) \quad (8)$$

$$\text{水底条件は } \bar{\phi} = 0 \quad (9)$$

よって以上の関係より、 $\lambda_0 = k\eta_0$, $\lambda'_0 = k'\eta_0$ として

$$\begin{aligned} -\phi(0) + \sum_{j=1}^N (E_{ij} - \Gamma E_{iz}) \phi(j) + \sum_{j=1}^N E_{ij} \bar{\phi}(j) \\ + \psi \sum_{j=1}^N (E_{ir} - i \lambda_0 E_{ir}) + \psi' \sum_{j=1}^N (E_{iz} + i \lambda'_0 E_{iz}) \\ = -\sum_{j=1}^N (E_{ir} - i \lambda_0 E_{ir}) A(kz_r) \end{aligned} \quad (10)$$

また、境界線上AB, A'B', (i) $i = (l, z_p)$, $i = (-l', z_q)$ では、 $\phi(i) = (1+\psi)A(kz_p)$, $\bar{\phi}(i) = \psi'A(kz_q)$ --- (11)と各々おくことにより、 $(N_1 + N_2 + 2)$ 個の連立一次方程式が得られ、これを解いて未知数を求めれば、境界線上のポテンシャルが求められ、さらに式(5)により領域内各点のポテンシャルを定めることが出来る。

3. 実験および実験装置

長さ22m、幅1m、深さ60cmのアラリ式造波板をもつ2次元水路を使用した。堤体は木製の板を用いて造り、水路中央に固定し、水深 $H_0 = 40\text{cm}$ 、入射波高を35~45cm、周期 $T = 0.90 \sim 2.00\text{sec}$ にして、容量式波高計を用いて、図-1のようにHealyの方法により、反射率、通過率を測定した。

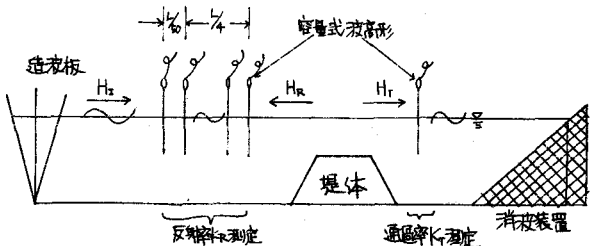


図-1 実験装置

4. 計算および実験結果

図-3は、着堤の高さが、0.7R (R :水深)、天端幅が、0.5mで、前後面に同じ傾斜面を設けた時、また、図-4は、図-3と同じ条件で、天端幅を1.0mにした時、図-5は、天端幅を0.5m、直立とSlopeが1:1の場合の、各々着堤の高さが、0.7R, 0.85Rの時の反射率 K_R の計算値と実験結果である。

何れの場合も、nodal point (0点) をもち、その位置は、天端幅が狭い程大きくなる波数に移る。即ち天端幅が狭い程、安定した反射率を得る。このことは、天端幅が広い時、堤上水域の自由振動により、エネルギー輸送が行なわれているためである。また周波数が大きくなると、何れも反射率 K_R は小さくなるが、これは波のenergy fluxは小さくなるにつれて静水面附近に集中するためである。また反射率 K_R は着堤の高さとともに増大するが、nodal point付近ではこのことは言えない。傾斜面をゆるやかにするにつれて、何れも反射率 K_R は小さくなる。これは傾斜面が、上述のエネルギー輸送を助長する働きをしているためである。

参考文献；

井島武士、周宗仁、吉田明徳

“グリーン公式による有限水深の波の2次元境界値問題の解法”

九州大学工学集報(昭和50年12月)

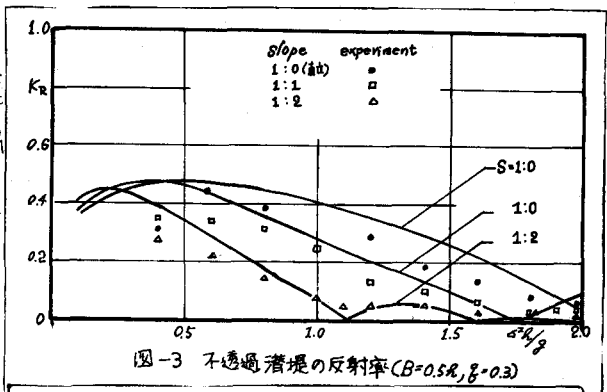


図-3 不透過着堤の反射率 ($B=0.5R$, $g=0.3$)

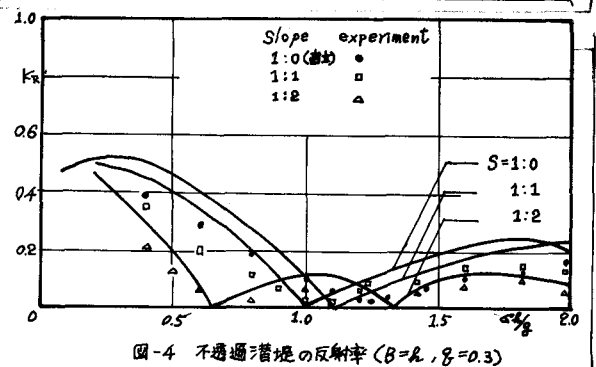


図-4 不透過着堤の反射率 ($B=R$, $g=0.3$)

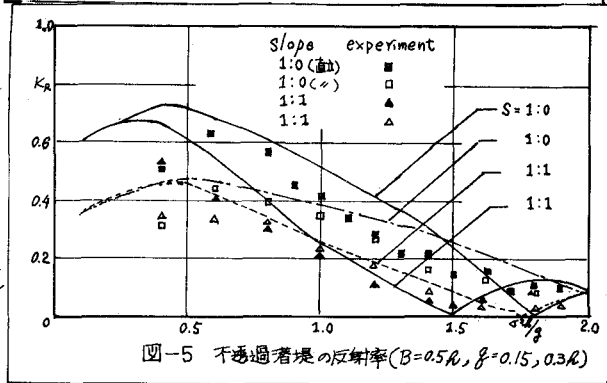


図-5 不透過着堤の反射率 ($B=0.5R$, $g=0.15, 0.3R$)